

示了医学临床的可能性。当然，在应用之前，还需要改进和完善激光增强极化惰性气体的磁共振成像新技术，以及做人体的临床试验。

### 参 考 文 献

- [1] Bertram Schwarzschild, *Phys. Today*, June(1995), 17.
- [2] Antonio Regalado, *Science*, **268**(1995), 640.
- [3] Zeng Xizhi, Wu Changjun, Zao Mingxin et al., *Chem. Phys. Lett.*, **182**(1991), 538; Liu Zidong, Zao Mingxin, Wu Changjun et al., *Chem. Phys. Lett.*, **194**(1992), 440; Zhao Mingxin, Liu Zidong, Li Liyun et al., *Acta Physica Sinica (Overseas Edition)*, **2**(1993), 15.
- [4] M. Gatzke, G. D. Cates, B. Driehuys et al., *Phys. Rev. Lett.*, **70**(1993), 690.
- [5] G. D. Cates, D. R. Benton, M. Gatzke et al., *Phys. Rev. Lett.*, **65**(1990), 2591.
- [6] N. R. Newbury, A. S. Barton, G. D. Cates et al., *Phys. Rev. A*, **48**(1993), 4411; M. E. Wagshul and T. E. Chupp, *Phys. Rev. A*, **49**(1994), 3854.
- [7] B. C. Grover, *Phys. Rev. A*, **40**(1978), 398.
- [8] C. H. Voik, T. M. kwon and J. G. Mark, *Phys. Rev. A*, **21**(1980), 1549.
- [9] N. B. Bhaskar, W. Happer and T. Mclellan, *Phys. Rev. Lett.*, **49**(1982), 25.
- [10] X. Zeng, E. Miron, W. A. van Wijngaarden et al., *Phys. Lett. A*, **96**(1983), 191; N. Ramsey, E. Miron, X. Zeng et al., *Chem. Phys. Lett.*, **102**(1983), 340; N. D. Bhaskar, W. Happer, M. Larsson et al., *Phys. Rev. Lett.*, **50**(1983), 105.
- [11] Zeng X., Wu, Z., T. Call et al., *Phys. Rev. A*, **31**(1985), 260; W. Happer, E. Miron, S. Schaefer et al., *Phys. Rev. A*, **29**(1984), 3092.
- [12] Liu Zidong, Sun Xianping, Zeing Xizhi et al., *Chinese. Phys. Lett.*, **7**(1990), 388.
- [13] C. C. Bouchiat, M. A. Bouchiat and L. C. Pottier, *Phys. Rev.*, **181**(1969), 144.
- [14] Zeng Xizhi et al., 原子与分子物理学报, **7**(1990), 1636.
- [15] M. A. Bouchiat, T. R. Carver and C. M. Varnum, *Phys. Rev. Lett.*, **5**(1960), 373.
- [16] G. K. Walters, F. D. Colegrove and L. D. Schearer, *Phys. Rev. Lett.*, **8**(1962), 439.
- [17] T. E. Chupp, M. E. Wagshul, K. P. Coulter et al., *Phys. Rev. C*, **36**(1987), 2244.
- [18] D. D. McGregor, *Phys. Rev. A*, **41**(1990), 2631.
- [19] M. S. Alber, G. D. Gates, B. Driehuys et al., *Nature*, **370**(1994), 199.
- [20] H. Middleton, R. Black, B. Saam et al., *Magn. Reson. Med.*, **33**(1995), 271.

## 色心晶体及激光研究进展\*

吴季怀

(华侨大学材料物理化学研究所,泉州 362011)

**摘要** 色心激光是当前及今后固体可调谐激光领域的主要研究对象之一。该文综合评述了碱卤化物色心晶体及激光的研究发展概况,系统地探讨了色心的结构、光谱性质和色心晶体的制备,客观地分析了F型色心、 $F_2^+$ 型色心的发展、现状及主要激光性能。

**关键词** 色心晶体, 固体可调谐激光, 碱卤化物

色心作为固体缺陷研究,可以追溯到固体物理学发展早期。19世纪,透明碱卤晶体产生颜色就引起科学家的注意,“色心”一词就是当

时从德语 farde zentr(颜色中心)而来。随着实验工作积累与R. Pohl和A. Smakula等人的大量工作,把色心与晶体微观晶格缺陷联系起来。

\* 国家自然科学基金和国家青年自然科学基金资助项目。

1995年4月17日收到初稿,1995年11月7日收到修改稿。

1937年, de Bore 在量子力学基础上提出 F 心类氢模型, 得到实验证实, 并成功地解释了色心的光谱性质。40年代后, 光谱技术、核磁共振、自旋共振等新技术的应用, 量子力学的引入, 各种理论模型的建立, 使色心物理体系逐步得到完善。

1965年, 德国 B. Fritz<sup>[1]</sup>首次用闪光灯泵浦获得  $\text{KCl}(\text{Li}^+) \text{F}_\text{A}$ (II) 色心激光振荡, 此后色心晶体作为一种激光介质引起人们的兴趣。1974年美国 Bell 实验室的 F. L. Mollenauer 等人<sup>[2]</sup>实现了连续可调谐色心激光, 引起了人们的重视, 从此色心激光研究进展很快。

色心激光之所以引起广泛的兴趣, 其主要原因在于: 波长可调谐范围很宽, 目前能覆盖  $0.6 - 5.0 \mu\text{m}$  波段, 克服染料激光难以扩展的范

围; 激光输出功率较高, 目前已达 4.8W, 远超过在其他方面具有很大优点的半导体激光; 较容易实现多种形式的激光输出——脉冲、连续、单模、多模、锁模、孤子, 大大地扩展其应用价值; 光束质量高, 线宽和脉宽均很窄, 经压缩后脉宽已达 75fs, 线宽达几百 kHz。经过十几年的研究, 色心激光运转的最大困难——色心晶体的稳定性得到显著改善,  $\text{LiF}: \text{F}_2^+$  色心激光可室温运转,  $\text{NaCl}(\text{OH}^-): (\text{F}_2^+)_\text{H}$  色心激光在液氮温度可长期使用, 美国 Berling 公司已有 FCL-10, FCL-20, FCL-100 型商品化激光器问世。色心激光的这些优异特性, 使它在分子光谱学、化学动力学、污染检测、光纤通信、窄带隙半导体物理学、非线性光学等高科技领域有非常良好的应用价值。

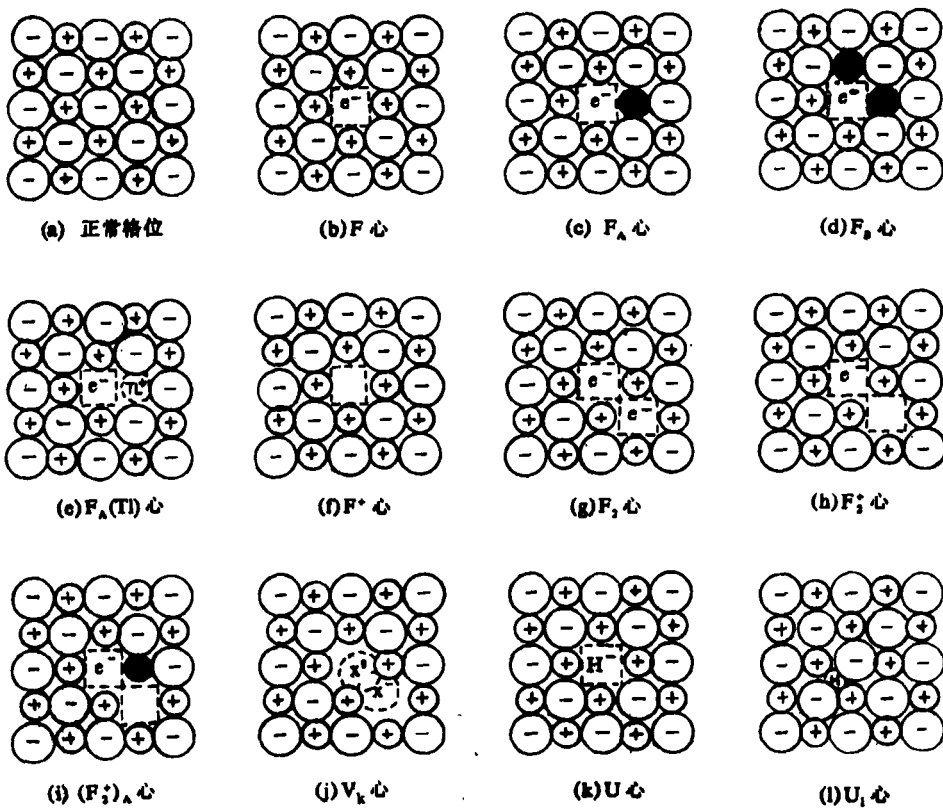


图 1 几种色心的构型(100 面)

## 1 色心的结构和光学性质

### 1.1 色心的分类和命名

碱卤晶体中的色心，根据其结构特征可分为本征型色心和杂质型色心。本征型色心又可分为俘获电子型和俘获空穴型两种。杂质型色心如在掺氢的晶体中，一个占据填隙位置的 $H^-$ 构成 $U_0$ 心，占据阴离子格位构成 $U_1$ 心，等等。俘获空穴型色心，如两个沿 $<110>$ 相邻的卤离子 $X^-$ 共用一个自陷空穴构成 $V_K$ 心。激光活性心基本上是俘获电子型。常见的几种色心结构(100 面)如图 1 所示。这套分类命名规则是 1972 年 Sonder-Sibey 提出的，已被普遍采纳。

### 1.2 光学性质

具有激光活性的色心主要在碱卤晶体中。它是典型的离子晶体，属立方晶系，键合能大( $\sim 200\text{kCal/mol}$ )，熔点较高(约 1000K)。图 2 是碱卤晶体吸收谱示意图。图中 $E_G^0$ 对应于带隙吸收， $E_X$ 对应于激子吸收，在紫外与红外之间存在很宽的透明区，而色心的吸收和发射就在这一波段内。色心在晶体的禁带能隙间引入一些新的跃迁能，这些能态与周围晶格强烈地耦合，产生特有的光吸收和光发射，从而构成四能级光泵浦循环，其电子-声子耦合和光泵浦循环如图 3 所示。图中电子基态能级为 $m$ ，激发态为 $k$ ，相应的振动态为 $\eta$ 和 $\gamma$ 。 $(m, \eta)$ 态与 $(k, \gamma)$ 态间的光学跃迁取决于能量守恒、跃迁选律及 $\eta$ 和 $\gamma$ 的交叠。当势能曲线较陡，且 $R_E$ 与 $R_G$ 相距较远时为强电-声耦合。此时 Stokes 位移较大，无辐射跃迁几率较大，F 型色心即是此种情况。而当势能曲线较平坦， $R_E$ 与 $R_G$ 相距较近时为弱电-声耦合。此时 Stokes 位移较小，两势能曲线无相交趋势，无辐射跃迁几率较小， $F_2^+$ 型色心即是这种情况。其光泵浦循环可表述为：电子受激由基态 $A$ 跃迁至激发态 $B$ ，通过电-声耦合由激发态 $B$ 进入弛豫激发态 $C$ ，态 $C$ 发射光子跃迁至弛豫基态 $D$ ，态 $D$ 通过电-声耦合回到态 $A$ ，完成一个循环。由

于 $\tau_{R'}$ 和 $\tau_R$ 比 $\tau$ 的时间小几个数量级，因而粒子只存在于 $A$ ， $C$ 态上，易于实现粒子数反

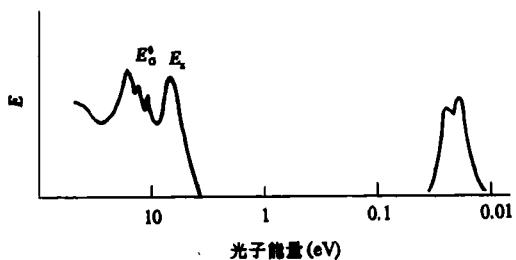


图 2 碱卤晶体吸收谱示意图

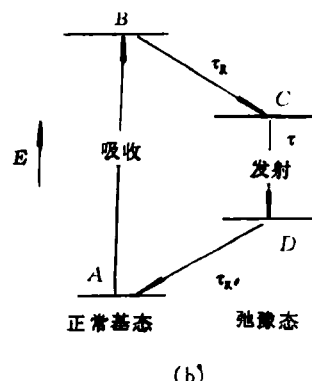
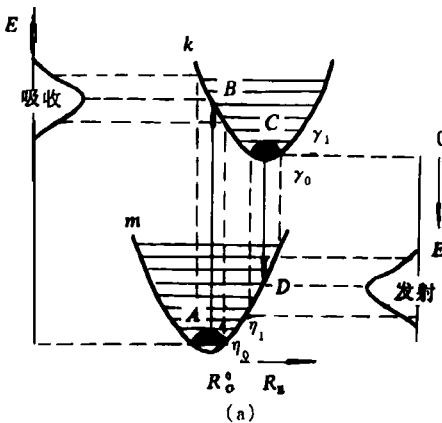


图 3 电-声子耦合和光泵浦循环

- (a) 电-声子耦合位形曲线；
- (b) 光泵浦循环图

转，构成理想的四能级循环。由于电-声耦合

均匀加宽色心的吸收谱和发射谱,为实际应用带来益处。这里  $E_{A-B}$  与  $E_{C-D}$  的能级差即为 Stokes 位移,代表给予晶格的能量。对不同晶体,不同色心,其势能曲线不同,就显示不同的激光性能。

并非所有的色心均能作为激光工作心,除须具备一定的浓度和稳定性外,还必须做到:(1)弛豫激发态距导带有一定的距离,避免电子吸收光子或受热激发而进入导带;(2)介质中其他色心的吸收不能与激光工作心的发射相近,以避免自吸收;(3)荧光振子强度要足够大;(4)Stokes 位移要恰当,太大时激光效率低,太小时又会发生自吸收。

## 2 色心激光晶体的制备

### 2.1 单晶生长

色心激光晶体的制备一般要通过三个步骤:(1)单晶生长,生长出掺质均匀、适量分布、光学质量高的单晶;(2)着色,在晶体中产生浓度较高、分布均匀的基础色心(F 心等);(3)转型,通过光热反应使基础心变为激光工作心。

对碱卤晶体而言,熔点均在 1000℃ 以下,除 CsI, CsBr, CsCl 为面心立方晶系外,其余均为体心立方晶系。晶体对称性高,生长习性好。采用 Czochralski 提拉法和 Bridgman 坩埚下降法易于从熔体生长出化学纯度高、光学质量好的单晶。对色心激光晶体,关键是杂质离子的排除和掺质离子均匀适量地进入晶体。

事实上,在目前使用的碱卤晶体中,常含一定量的阴阳离子杂质,这些非故意掺入的离子有些为几个 ppm,有的甚至在几十 ppm 以上。而有些杂质起作用的浓度就在此量级,因而杂质的排除显得尤为重要。杂质的排除<sup>[3]</sup>要考虑原料、坩埚、生长气氛、籽晶带入的杂质和生长时发生的反应等方面的原因。除去杂质常用 RAP 法、重结晶法、多次回炉法等。另外对无害杂质,除去的要求不必很高。

要使掺质离子均匀、适量和有效地进入晶格,必须根据掺质与基质的固液平衡相图,根据

互溶、部分互溶、不溶等关系,设计相应的生长工艺。如对互溶体系,可使晶体生长处于准平衡状态,以较慢速度进行,这样掺质较易均匀进入晶格;而对不互溶体系,可使晶体生长前沿处于频率很短的周期性过冷状态下,迫使掺质以包裹复相形式进入晶体,通过后续处理使掺质在晶体中均匀化。掺质在晶体中的分布在一定条件下服从分凝系数规则。

### 2.2 晶体着色

晶体着色是使晶体产生基础色心。着色的方法有附加蒸气、辐射损伤和电解三种。附加蒸气着色法是将晶体置于相应的碱金属(或卤素)蒸气中并加热使之产生色心的方法。在此过程中,晶体中的阴离子向外扩散,在晶体表面与金属蒸气形成新的晶层。而晶体中的阴离子空位俘获电子而形成 F 心。详细机理可参考文献[3]。

采用此方法所获得的 F 心是 Schottky 缺陷,比较稳定、均匀,可在大部分晶体中应用,是最常用的方法。但对 LiF 和 NaF 等晶体,或含有  $Tl^+$ ,  $Ga^+$ ,  $In^+$ ,  $Ag^+$  等掺质晶体,由于小离子的扩散和竞争使着色过程复杂化,甚至难以形成 F 心<sup>[4]</sup>,这时应采用其他方法着色。

辐射损伤法是通过射线激发晶体中的电子进入导带,而后电子在与自陷空穴复合中把能量传给阴离子,形成 F 心和间隙原子<sup>[5]</sup>。此方法使用温度可从液氮温度到几百度。辐照源包括 UV 光、 $\gamma$  射线、X 射线、质子、中子、电子束。UV 光和  $\gamma$  射线能量较小,需要较长时间。而 X 射线、中子、质子束仅在晶体表面产生。在较短时间有较大穿透深度的是电子束。此方法简单实用。但所形成的是 Frankel 缺陷(即 F 心与间隙原子共存),较不稳定,一旦条件允许,间隙原子易于回位,使用受到一定限制。

电解着色法是把晶体加热至可产生空位和电导的温度(一般低于熔点 50—100℃),在晶体的两端加上电压,使之产生色心的方法。此方法较少使用。

### 2.3 色心的转型

着色产生的色心往往不是激光活性心,还

必须通过色心的光、热反应获得,此过程称为转型。热反应<sup>[3,5]</sup>的根据是晶体中的各种色心存在着相互反应的趋势,存在着动态化学平衡,而且这些反应和平衡是温度的函数。把晶体加热至一定温度,使反应进行,达到对激光活性心形成有利的平衡,迅速冷却,使各种色心迅速“冷冻”,从而减少或除去有害色心,而获得较多的对激光活性心有用的色心。热反应进行的关键是温度、时间、冷却速度的选择及其控制。

光反应的种类比较多,其反应机理也不同。或者是在光作用下发生光电离,如  $F_2 \rightarrow F_2^+$ ,  $(F_2)_A \rightarrow (F_2^+)_A$ , 或者发生构型重取向,如  $(F_2^+)_H1 \rightarrow (F_2^+)_H2$ ,  $(F_2^+)_HA1 \rightarrow (F_2^+)_HA2$ , 或者发生更复杂的过程,即发生色心电离、迁移、俘获电子等过程,如  $F + A \rightarrow F_A$ ,  $F + Tl \rightarrow F(Tl)$  等,从而形成激光活性心<sup>[4]</sup>。要使光反应有效进行,关键是光源的选择、时间的控制和温度的确定。

### 3 F型色心与激光性能

#### 3.1 F色心

最简单也是最重要的色心是碱卤晶体中的 F 心,其结构模型如图 1(b)所示,由一个阴离子空位俘获一个电子构成,类似于氢原子结构。但 F 心无激光活性,其主要原因是 C 态(见图 3)电子云扩散,与 D 态重叠少,荧光跃迁( $C \rightarrow D$ )振子强度小( $f \sim 0.01$ ),产生的增益小;其二是 C 态距导带很近,易于吸收其荧光或受热激发而进入导带。由于荧光增益小又有强吸收,故不易获得产生激光振荡的净增益。

#### 3.2 $F_A$ 色心

$F_A$  色心是 1965 年和 1974 年首先获得激光运转的工作介质<sup>[1,2]</sup>,其结构如图 1(c)所示。具有激光活性的  $F_A$ (II) 心稳定性好,处理方便,易于保存,但只能在 KCl 和 RbCl 晶体中产生,调谐范围只限于  $2.5-3.1\mu m$ <sup>[6]</sup>。且由于 Stokes 位移大,使原来不高的荧光效率进一步下降,且随温度上升而下降。1.6K 时荧光效率

为 50%,300K 时趋于零。 $F_A$ (II) 心最大理论效率为 10%,输出功率也不大,到目前  $KCl(Li^+):F_A$ (II) 心最大激光功率为 240MW,  $Cl(Li^+):F_A$ (II) 激光功率为 100mW<sup>[4]</sup>。

#### 3.3 $F_B$ 色心

1977 年,德国 Hannover 大学 G. Liftin 等人首次获得  $F_B$ (II) 色心激光运转<sup>[7]</sup>。 $F_B$  心的结构如图 1(d)所示。具有激光活性的  $F_B$ (II) 心只能在 KCl 和 RbCl 基质中产生,掺质仅  $Na^+$  离子。它具有和  $F_A$ (II) 心相似的优点和不足,而且在  $F_B$ (II) 心晶体中总伴有一定量的  $F_A$  和  $F_B$ (I) 心,它们的吸收带与  $F_B$ (II) 心有很大部分重叠,使荧光效率进一步下降,斜率效率仅 9%。 $F_B$ (II) 晶体可在  $2.2-3.0\mu m$  提供可调谐激光, $KCl(Na^+):F_B$ (II) 色心最大激光输出功率为 50mW。

#### 3.4 $F_A(Tl)$ 色心

1981 年,美国 Utah 大学 W. Gellemann 和 F. Luty 等首次获得该色心激光运转<sup>[8]</sup>。该色心在结构上类似于  $F_A$  心,但性能上更象一个空位扰动的 Tl 原子(大约有 55% 的电子云集中在  $Tl^+$  上),因而常称之为  $Tl^0$ (1) 心。由于各种原因,目前实际应用的仅  $KCl: Tl^0(1)$  和  $KBr: Tl^0(1)$  心。 $KBr: Tl^0(1)$  心的可调谐范围为  $1.5-1.7\mu m$ ,  $KCl: Tl^0(1)$  心的调谐范围为  $1.4-1.63\mu m$ ,输出功率达 1W,经锁模产生 9ps 的脉冲。

### 4 $F_2^+$ 型色心与激光性能

#### 4.1 $F_2^+$ 色心

$F_2^+$  心是由两个相邻的阴离子空位共用一个电子构成,如图 1(h)所示。其结构类似于  $H_2^+$  分子离子。F. L. Mollenauer 用浸于连续介质中的  $H_2^+$  模型进行理论计算<sup>[9]</sup>,所得结果与实验观测值非常吻合,即

$$E_{F_2^+}(r, K_0) = (K_0)^{-2} E_{H_2^+}(R),$$

式中  $R = r/K_0$ ,  $r$  是两个空位的间距,  $K_0$  是晶体的介电常数,  $F_2^+$  心具有非常理想的四能

级循环系统(见图3). 它具有较大的振子强度( $f \sim 0.2$ ), 使得增益截面较大; 量子效率几乎100%, 且与温度无关; Stokes位移恰当, 既产生高效率又避免自吸收; 宽增益带宽和高增益易于实现超短脉冲, 最短脉冲已达75fs; 输出谱线窄, 可达几百kHz; 可调谐范围宽, 几个基质可覆盖 $0.8\text{--}4.0\mu\text{m}$ ; 输出功率高, 目前已达4.8W.

1974年, Utah大学物理教授F. Luty从理论上分析了 $\text{F}_2^+$ 心的良好激光特性, 建议Bell实验室的Mollenauer进行研究. 果然, 1977年Mollenauer等在NaF晶体中制得 $\text{F}_2^+$ 心, 并实现其激光运转<sup>[10]</sup>. 原则上,  $\text{F}_2^+$ 心可在所有碱卤晶体中获得并产生激光, 但实际上能进行有效激光运转的只有LiF: $\text{F}_2^+$ 和KF: $\text{F}_2^+$ 色心晶体<sup>[11]</sup>.

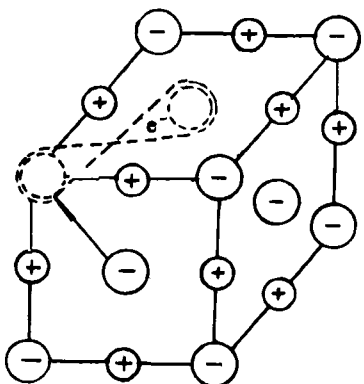


图4  $\text{F}_2^+$ 心重取向示意图

$\text{F}_2^+$ 心有效激光运转面临两个问题<sup>[12]</sup>: 一是难以获得浓度足够大的 $\text{F}_2^+$ 心. 这是由于 $\text{F}_2^+$ 心属正电荷缺陷, 易于俘获晶体中的电子而形成 $\text{F}_2$ 心, 即退电离. 解决的途径是在晶体中提供电子陷阱; 其二是 $\text{F}_2^+$ 心的“滚动”. 如图4所示, 当受到刺激时, 邻位阴离子移到 $\text{F}_2^+$ 的一个空位中,  $\text{F}_2^+$ 心轴旋转 $60^\circ$ , 发生构型重取向, 重复进行,  $\text{F}_2^+$ 心在晶体中“滚动”, 当移到其他缺陷附近时, 与之结合,  $\text{F}_2^+$ 心消失. 为避免滚动, 必须在 $\text{F}_2^+$ 心附近引入能“钉”住它的掺质. 几年来, 人们在解决这两个问题上进

行了卓有成效的工作, 衍生出 $\text{F}_2^+$ 型心, 并拓展了 $\text{F}_2^+$ 心的波长覆盖范围.  $\text{F}_2^+$ 型心已成为性能最优、研究最活跃和最有实用价值的色心.

#### 4.2 $(\text{F}_2^+)^*$ 和 $(\text{F}_2^+)^{**}$ 色心

在 $\text{F}_2^+$ 型心发展过程中曾有两个方向: 一是用高能射线辐照晶体产生某种缺陷来稳定 $\text{F}_2^+$ 心. 80年代初, Mollenauer等<sup>[13]</sup>在NaF晶体中分别掺入 $\text{Ni}^{2+}$ ,  $\text{Pt}^{2+}$ ,  $\text{Mn}^{2+}$ 和 $\text{OH}^-$ , 用电子辐照分别获得 $(\text{F}_2^+)^*$ 和 $(\text{F}_2^+)^{**}$ 心. Eisele等在NaF晶体中掺入 $\text{Ca}^{2+}$ 和 $\text{Mg}^{2+}$ 也产生 $(\text{F}_2^+)^*$ 心.  $(\text{F}_2^+)^*$ 和 $(\text{F}_2^+)^{**}$ 心的热稳定性虽比 $\text{F}_2^+$ 心有所提高, 但其光稳定性尚无法令人满意, 在激光振荡时它会衰减. 由于采用射线着色, 工作心的消失是不可逆的, 这种色心由于其应用局限性目前尚没有大的发展, 它们的结构目前仍不清楚.

#### 4.3 $(\text{F}_2^+)_A$ 色心

稳定 $\text{F}_2^+$ 心的另一种方法是用某种掺质与之结合, 使之微扰并钉住 $\text{F}_2^+$ 心. 这种方法又分为阳离子微扰和阴离子微扰两种. 采用阳离子即为 $(\text{F}_2^+)_A$ 心, 其结构如图1(i)所示. 1979年, 美国海军研究所I. Schneider首先在KCl( $\text{Na}^+$ )晶体中获得 $(\text{F}_2^+)_A$ 心, 并实现其激光运转<sup>[14]</sup>. 目前这类色心已在多种掺质离子、多种晶体中实现激光运转<sup>[14]</sup>, 其可调谐波长覆盖 $1.62\text{--}4.0\mu\text{m}$ .  $(\text{F}_2^+)_A$ 心具备 $\text{F}_2^+$ 和 $\text{F}_A$ 心的特性. 由于采用蒸气着色, 晶体可在室温下储存, 在激光运转中不衰减. 引入的掺质离子一方面钉住 $\text{F}_2^+$ 心; 另一方面扰动 $\text{F}_2^+$ 心使其光谱性质有所变化, 吸收峰有小的红移, 发射峰有较大的红移, 如果掺质离子愈小, 移动越大. 现在能稳定地进行激光运转的有KCl( $\text{Na}^+$ ): $(\text{F}_2^+)_A$ 和KCl( $\text{Li}^+$ ): $(\text{F}_2^+)_A$ 心, 后者的激光输出为1.2W.

#### 4.4 $(\text{F}_2^+)_H$ 和 $(\text{F}_2^+)_H\text{A}$ 色心

采用阴离子微扰 $\text{F}_2^+$ 心可获得 $(\text{F}_2^+)_H$ 心, 它是由 $\text{F}_2^+$ 心和邻近一个二价阴离子掺质构成. 1978年, Lobanova等在研究LiF: $\text{O}^{2-}$ 晶体时首先提出. 但真正得到研究和应用是1985

年 J. F. Pinto 等人发现  $\text{NaCl}(\text{OH}) : (\text{F}_2^+)_\text{H}$ <sup>[15]</sup> 晶体后, 当时本文作者也独立地进行过有关研究, 取得令人满意的进展<sup>[16, 17]</sup>. 此色心用  $\text{O}^{2-}$  扰动  $\text{F}_2^+$ , 既钉住  $\text{F}_2^+$  心, 又使整个缺陷显电中性, 避免了退电离, 克服了  $\text{F}_2^+$  心的两大不足. 此晶体色心浓度大, 稳定性好, 可室温储存, 激光运转不衰减. 目前已在  $\text{NaCl}, \text{KCl}, \text{KBr}$  等晶体中实现激光运转, 几个基质的可调谐激光波段覆盖  $1.40\text{--}2.9\mu\text{m}$ <sup>[18]</sup>. 1992 年 10 月, 法国岗大学获得 4.8W 的  $\text{NaCl}(\text{OH}) : (\text{F}_2^+)_\text{H}$  最大激光输出<sup>[11]</sup>.

受掺氧  $(\text{F}_2^+)_{\text{II}}$  心的启示, 1992 年 Y. Suzuki<sup>[19]</sup>研究  $\text{NaCl}$  晶体掺硫的  $(\text{F}_2^+)_\text{H}$  心, 指出有可能实现室温激光运转. 同年 10 月, 法国岗大学获得  $>3\text{W}$  的输出功率<sup>[11]</sup>. 和掺氧的  $(\text{F}_2^+)_\text{H}$  相比, 掺硫的  $(\text{F}_2^+)_\text{H}$  晶体室温半衰期为 20 天, 而掺氧的  $(\text{F}_2^+)_{\text{II}}$  心仅 12 天; 且单一晶体的可调谐范围为  $1.43\text{--}2.0\mu\text{m}$ , 而掺氧为  $1.45\text{--}1.75\mu\text{m}$ .

最近, Utah 大学 D. Wandt 等人把阴、阳离子扰动结合起来, 在  $\text{Na}^+$  和  $\text{O}^{2-}$  双掺的  $\text{KCl}$  和  $\text{KBr}$  晶体中获得  $(\text{F}_2^+)_{\text{HA}}$  心, 并实现激光运转<sup>[19]</sup>. 我们也进行  $\text{NaCl}$  和  $\text{KCl}$  晶体  $(\text{F}_2^+)_{\text{HA}}$  心研究, 取得较好的进展<sup>[5, 20]</sup>.  $(\text{F}_2^+)_{\text{HA}}$  心给  $\text{F}_2^+$  型心家族增添新的成员.

除上述色心外, 还有  $\text{F}_\text{H}(\text{CN})$  色心、N 型色心、多电子色心等等, 限于篇幅不能一一介绍. 从 1974 年色心激光有效运转<sup>[2]</sup>至今, 作为激光工作介质——色心的研究取得长足的发展, 显示出强大的生命力. 可以相信, 随着时间的推移, 基础研究的深入和应用研究的进一步

开展, 色心的优异特性将得到更充分的发挥, 成为近红外波段难以替代的理想激光源。

## 参 考 文 献

- [1] B. Fritz and E. Menke, *Sol. Commun.*, 3-1(1965), 61.
- [2] F. L. Mollenauer and D. H. Olsen *Appl. Phys. Lett.*, 24-4(1974), 386.
- [3] 吴季怀等, 人工晶体学报, 22-2(1993), 113; 24-3(1995), 182.
- [4] W. Gellermann, *J. Phys. Chem. Solid*, 52-1(1991), 249.
- [5] 吴季怀等, 华侨大学学报, 11-3(1990), 222; 11-3(1990), 243; 15-2(1994), 177.
- [6] L. F. Mollenauer, *Color center laser*, Academic Press, New York, (1979).
- [7] F. Litfin, R. Beigang and H. Wiling, *Appl. Phys. Lett.*, 31-4(1977), 381.
- [8] W. Gellermann, F. Luty, C. R. Pollock et al., *Opt. Commun.*, 39-2(1981), 381.
- [9] L. F. Mollenauer, *Phys. Rev. Lett.*, 43-20(1979), 1524.
- [10] L. F. Mollenauer, *Opt. Lett.*, 2-3(1977), 164.
- [11] 张贵芬, 激光与红外, 24-1(1994), 38.
- [12] 许承冕, 华侨大学学报, 11-3(1990), 209.
- [13] L. F. Mollenauer, *Opt. Lett.*, 5-5(1980), 188; 6-7(1981), 342.
- [14] I. Schneider et al., *Opt. Lett.*, 4-8(1979), 390; 5-6(1980), 214; 6-7(1981), 627.
- [15] J. F. Pinto et al., *Opt. Lett.*, 10-8(1985), 384; 11-8(1986), 310.
- [16] 吴季怀等, 中国激光, A20-6(1993), 417.
- [17] 吴季怀等, 红外与毫米波学报, 12-3(1993), 223.
- [18] D. Wandt et al., *J. Appl. Phys.*, 61-8(1987), 864; *Opt. Commun.*, 61-1/2(1987), 405.
- [19] Y. Suzuki et al., *Jpn. J. Appl. Phys.*, 31-3(1992), 809.
- [20] 吴季怀等, 功能材料, 23-3(1992), 225.